# 考虑动态渗流的散粒体滑坡-涌浪过程两相 SPH 模拟

彭铭<sup>1,2</sup>, 赵庆新<sup>1,2</sup>, 李爽<sup>1,2,\*</sup>, 褚卫江<sup>3</sup>, 朱艳<sup>4</sup>, 葛向铭<sup>3</sup>, 陈昉健<sup>5</sup>

1.同济大学 土木防灾减灾全国重点实验室,上海,200092; 2.同济大学 土木工程学院 地下建筑与工程系,上海,200092; 3.中国电建集团华东勘测设计研究院 有限公司,杭州,311122; 4.中船第九设计研究院工程有限公司,上海,200063; 5.厦门理工学院土木工程与建筑学院,福建,361024

**摘要:**滑坡-涌浪是一种典型的多灾种耦合系统,具有跨介质灾种转化的复杂效应。本文基于黎曼光滑粒子流体动力学(Riemann-SPH),构建了考虑动态渗流的两相 SPH 滑坡-涌浪分析模型并验证了其准确性: 动态渗流作用的引入使得散粒体滑坡-涌浪过程中的动量交换机制更加完整,最大波浪幅值  $a_m$  和最大波浪高度  $H_m$  的误差分别降低 24.72%和 41.95%以上。研究发现,滑动面倾角  $\alpha$  与滑坡前缘倾角  $\beta$  对涌浪具有协同调控作用:随着  $\alpha$  增大, $a_m$  和  $H_m$  均呈现先增后减的单峰变化趋势; $\beta$  的影响则呈现出分段特征:当  $\alpha+\beta<90$  时, $a_m$  和  $H_m$  随角度和增大显著增长,超过该阈值后表现出非单调性变化,表明存在滑坡体积增加与有效作用面积缩减的竞争机制。此外, $\alpha$  的增大强化了渗流、紊流与摩擦等耗散效应,加剧涌浪能量衰减。相关成果可为滑坡-涌浪灾害防治提供科学支撑。

**关键词:** 滑坡-涌浪灾害链:黎曼光滑粒子流体动力学:动态渗流:滑动面倾角;滑坡前缘倾角:水土耦合

中图分类号: P642 收稿日期: 2025-04-26

# Two-phase SPH simulation of granular landslide-tsunamis processes considering dynamic seepage

Ming Peng<sup>1,2</sup>, Qingxin Zhao<sup>1,2</sup>, Shuang Li<sup>1,2,\*</sup>, Weijiang Chu<sup>3</sup>, Yan Zhu<sup>4</sup>, Xiangming Ge<sup>3</sup>, Fangjian Chen<sup>5</sup>

1. State Key Laboratory of Disaster Reduction in Civil Engineering, Tongji University, Shanghai 200092, China; 2. Department of Geotechnical Engineering, Tongji University, Shanghai 200092, China; 3. PowerChina HuaDong Engineering Corporation Limited, Hangzhou 311122, China; 4. China Shipbuilding NDRI Engineering Co., LTD, Shanghai 200063, China; 5. School of Civil Engineering & Architecture, Xiamen University of Technology, Xiamen 361024, China

**Abstract:** The landslide-tsunami is a typical multi-hazard coupled system, characterized by complex effects resulting from the transmedia transformation of hazards. This paper proposes a two-phase Riemann-SPH model for landslide-tsunami simulation that incorporates dynamic seepage and is validated against laboratory experiments. The incorporation of dynamic seepage effects enhances the completeness of the momentum exchange mechanism in the granular landslide-tsunami process, reducing the errors in the maximum wave amplitude ( $a_m$ ) and maximum wave height ( $H_m$ ) by at least 24.72% and 41.95%, respectively. The results reveal a synergistic regulation of tsunami characteristics by the sliding surface inclination ( $\alpha$ ) and the landslide leading edge inclination ( $\beta$ ): as  $\alpha$  increases, the  $\alpha$  and  $\alpha$  and  $\alpha$  m and  $\alpha$  m and  $\alpha$  increase significantly with the angle. Beyond this threshold, non-monotonic variations appear, reflecting a competition between the increasing landslide volume and the decreasing effective impact area. Moreover, increasing  $\alpha$  enhances seepage, turbulent and frictional dissipation effects, accelerating energy decay. These findings provide scientific support for the mitigation of landslide-tsunami hazards.

**Key words:** Landslide-tsunami hazard chain; Riemann-SPH; dynamic seepage; sliding surface inclination; landslide leading edge inclination; Fluid-soil coupling

基金项目: 国家自然科学基金-联合基金重点项目(U23A2044),广西重点研发计划项目(桂科 AB25069121),国家自然科学基金-青年基金(42207238),福建省自然科学基金项目-面上项目(2022J011253)

作者简介: 彭铭(1981—), 男, 教授, 从事地质灾害链式机理及智能风险防控研究。E-mail: pengming@tongji.edu.cn \*通讯作者: 李爽(2000—), 男, 博士研究生, 从事地质灾害全过程模拟研究。E-mail: 2111042@tongji.edu.cn

# 0 引言

滑坡-涌浪是指一定体积的滑坡体在重力作用下 高速冲击水体并激发波浪的过程, 是近水滑坡灾害链 中的重要致灾方式(Evers et al., 2019: 徐文杰, 2023: 刘继芝娴,2023)。随着大规模水电工程的建设与运行, 滑坡-涌浪灾害对库区及近水区域的工程稳定性和生 命财产安全构成严重威胁,极易引发灾难性后果(李 秋旺等,2024)。如1963年意大利瓦伊昂水库滑坡-涌 浪事件,约 2.7×108 m³ 岩土体冲击入水,引发 5.0×107 m<sup>3</sup>水体溢出,造成约 2000 人死亡(Barla and Paronuzzi, 2013); 2013年溪洛渡库区黄坪滑坡-涌浪事件导致 12 人失踪, 3人受伤(蒋权, 2019); 2015年三峡库区红 岩子滑坡-涌浪事件致使 13 艘渔船倾覆, 2 人遇难 (Huang et al., 2016)。相较于单一滑坡灾害,滑坡-涌 浪灾害具有显著的时空延展性特征, 其灾害演化过程 涉及跨尺度灾种转化与跨介质多场耦合的复杂物理机 制(李宏伟等, 2024)。这种多物理场耦合效应导致灾 害影响范围扩大、致灾强度增强、演化过程更加复杂, 显著增加了灾害预测与防控的难度(朱艺帆和安超, 2024) 。

目前关于滑坡-涌浪的研究主要可以分为现场调查、经验公式及解析法、模型试验和数值模拟(Evers and Hager, 2016; Meng et al., 2023)。在现场调查方面: 其信息主要来源于时序监测数据、目击者描述和影像资料等(Fritz et al., 2001; Grilli et al., 2019)。然而,由于滑坡-涌浪灾害具有突发性强、发生地点难以预测等特点,往往导致灾害现场的监测数据不完整或无法获取。

在经验公式及解析法方面:采用概化的几何模型试验,考虑多个实验变量进行大量实验,分析对比影响因子对滑坡涌浪特征的影响程度和规律,具有概念清楚、适用范围广的特点(Fritz et al., 2004; Ataie-Ashtiani and Nik-Khah 2008; 殷坤龙等,2012)。但是由于滑坡-涌浪是一个极其复杂的动力学过程,经验公式法忽略了滑坡体的复杂形态和运动特征,未考虑流固耦合作用,不能重现滑坡-涌浪全过程。

在滑坡-涌浪模型试验方面:主要包括在狭窄水槽中开展的二维试验(Fritz et al., 2001)和在宽阔水池中开展的三维试验(Heller and Spinneken, 2015)。研究表明,滑坡体质量、几何尺寸(长度、宽度、厚度)、冲击速度以及静水深度等参数对涌浪波形特征具有显著影响,但对滑坡前缘倾角的研究较为有限(Heller and Spinneken, 2013, 2015; Tang et al., 2018)。此外,滑动面倾角(入水冲击角度)对涌浪的影响规律尚存在争

议。部分学者认为涌浪首浪峰值和最大波浪幅值与滑动面倾角呈正相关,而另一些学者则认为呈负相关或受复杂因素影响(Cui and Zhu, 2011; Mohammed and Fritz, 2012)。尽管模型试验可通过可靠的数据揭示涌浪的产生机制与传播规律,但受限于现有监测技术,难以实现流场动态演化过程的全域捕捉,从而制约了对水土相互作用细观机理的深入解析。

在滑坡-涌浪数值模拟方面:常用的数值模型主要包括深度平均模型、计算流体动力学(CFD)网格模型、多相流模型和粒子法模型四类(Lee et al., 2022a)。深度平均模型以其良好的计算效率得到广泛应用,但其较难考虑流体沿深度方向变化,难以模拟滑坡-涌浪过程中复杂的动力流固耦合作用(Fornaciai et., 2019)。CFD模型直接计算深度方向的速度变化并追踪液体表面,可以更加精细地模拟滑坡涌浪过程,但面对涌浪这类复杂的自由液面时,需要在界面处布置高精度网格,影响计算效率(Clous and Abadie, 2019)。多相流模型是在CFD基础上改进的欧拉网格多相耦合模型,适用于滑坡-涌浪问题的精细化研究及物理力学机制分析,但其应用仍受限于计算效率(Yu and Lee, 2019;Lee et al., 2022b)。

粒子法通过一系列粒子描述模拟对象, 采用纯拉 格朗日形式求解。在处理自由液面时,无需额外方法 追踪液面,且液体与固体采用统一形式进行描述与求 解,适用于流固耦合计算(Paquier et al., 2021)。光滑 粒子动力学(SPH)是一种典型的无网格拉格朗日方法, 广泛用于滑坡-涌浪等大变形过程模拟 (Luo et al., 2021; 徐文杰,2023)。在该方法中,计算域被离散为携带质 量、速度等物理属性的粒子单元, 粒子间通过核函数 进行加权插值,从而近似求解流体动力学控制方程。 蒋权 (2019) 基于 SPH 两相数值模型,模拟了 2013 年 黄坪滑坡-涌浪事件,获得了较为准确的浪高及完整的 涌浪过程。Huang 等(2023)采用 SPH 流固耦合框架, 模拟了荒田滑坡-涌浪事件,结果与现场数据较为一致。 Mao 和 Guan (2023) 发现滑坡潜在能量的减少与最大 波高之间存在指数关系。刘继芝娴(2023)基于 SPH 方法系统研究了巫峡段高陡库岸滑坡-涌浪的形成机 理及其动态衰减规律。Wu等(2024a)采用 MPM-SPH 耦合方法模拟了白鹤滩库区王家山滑坡引发的涌浪过 程,并开展了相关风险分析。Wu等(2024b)基于一 个固定前缘倾角的刚体滑块研究了滑坡-涌浪的密度 效应, 发现滑坡体密度对涌浪特性的影响与滑坡厚度 和冲击速度相关。Dai 等(2025)开发了适用于海底滑 坡的多相流 SPH 模型,研究了流变参数对滑坡运移和 涌浪行为的影响。现有的 SPH 方法通常主要关注滑坡

冲击水体过程中的动量与能量交换,而较少考虑水土间的动态渗流效应(Zhu et al., 2022; Rauter et al., 2022)。动态渗流效应是指在滑坡-涌浪过程中,尤其是散粒体滑坡入水阶段,水体以非稳态形式渗入滑坡体内部,并因液相与固相间的相对运动产生渗流拖曳力。该效应显著改变滑坡-涌浪的近场动力学行为,是准确预测涌浪特征参数的关键因素(徐文杰,2023)。此外,已有研究多聚焦于滑动面倾角或滑坡前缘倾角的单一影响(刘继芝娴,2023)。鉴于两者均可直接影响滑坡的有效作用面积,进而影响涌浪生成与演化,其协同作用机制仍有待深入探讨。

为了精确预测散粒体滑坡-涌浪灾害过程中的涌浪参数,本研究基于 SPH 框架建立了一种考虑动态渗流的水土两相 SPH 模型,通过与经典试验对比验证了模型的可靠性,并探讨了渗流效应对散粒体滑坡-涌浪数值模拟计算精度的影响。此外,本研究设计了一系列数值试验,系统分析了滑动面倾角( $\alpha$ )与滑坡前缘倾角( $\beta$ )的协同作用对涌浪特征参数的影响。

# 1 考虑动态渗流的 SPH 滑坡-涌浪分析

# 方法

本文采用弱可压缩流体模拟水体流动,并基于Drucker-Prager 本构的弹塑性体模拟滑坡体的失稳大变形行为。水体与滑坡体分别由可相互重叠的 SPH 粒子表示,并结合混合物理论与非线性渗流力改写控制方程,建立了一种考虑动态渗流效应的两相 SPH 方法,可用于散粒体滑坡-涌浪的分析研究。本文所有开发与计算均基于开源 C++代码库 SPHinXsys(Zhang et al., 2021)。

### 1.1 流体本构方程

在该模型中,水体被视为牛顿弱可压缩流体,状态方程被用来定义压力与密度的对应关系:

$$p = c_0^2 (\rho - \rho_0) \tag{1}$$

式中, $c_0$  为数值声速, $\rho_0$  为初始密度。取  $c_0=10U_{\text{max}}$ ,以保证密度波动小于 1%,其中  $U_{\text{max}}$  为最大流速。水体剪切应力 $\tau_t$ 的定义为:

$$\tau_f = 2\mu \dot{\varepsilon}_f = \eta \left[ \nabla u_f + \left( \nabla u_f \right)^{\mathrm{T}} \right] \tag{2}$$

式中, $\mu$  为水的动态粘度, $\dot{\epsilon}_f$ 为应变率张量, $\eta$  为水的动力粘度。

#### 1.2 土体本构方程

对于土体,应用基于 Drucker-Prager 屈服准则的弹塑性本构。该模型的屈服条件为:

$$f(I_1, J_2) = \sqrt{J_2} + \alpha_0 I_1 - k_c \tag{3}$$

式中,  $I_1$  为第一应力不变量,  $J_2$  为第二偏应力张量, I 为单位矩阵,  $\alpha_{\varphi}$ 、 $k_c$  为 DP 准则参数, 由粘聚力 c 和内摩擦角  $\varphi$  决定:

$$\alpha_{\varphi} = \frac{\tan\varphi}{\sqrt{9 + 12\tan^2\varphi}} \tag{4}$$

$$k_c = \frac{3c}{\sqrt{9 + 12\tan^2\varphi}}\tag{5}$$

非关联流动法则和 Jaumann 应变率被应用于计算 屈服应力,此时应力应变关系为:

$$\dot{\boldsymbol{\sigma}} = 2G\dot{\boldsymbol{\varepsilon}}^{s} + Ktr(\dot{\boldsymbol{\varepsilon}})\boldsymbol{I}$$

$$-\left[\dot{\lambda}3\alpha_{\psi}K\boldsymbol{I} + \frac{G}{\sqrt{J_{2}}}\boldsymbol{\sigma}^{s}\right] + \boldsymbol{\sigma} \cdot \dot{\boldsymbol{\omega}}^{T} + \dot{\boldsymbol{\omega}} \cdot \boldsymbol{\sigma}$$
(6)

式中,K和 G分别为体积模量和剪切模量, $\dot{\epsilon}$ 是应变张量, $\dot{\epsilon}' = \dot{\epsilon} - tr(\dot{\epsilon})I/3$ 是偏应变率张量, $\dot{\omega}$ 是旋转张量, $\lambda$ 是塑性应变乘子:

$$\dot{\lambda} = \frac{3\alpha_{\varphi}Ktr(\dot{\boldsymbol{\varepsilon}}) + (G/\sqrt{J_2})\boldsymbol{\sigma}^s : \dot{\boldsymbol{\varepsilon}}}{9\alpha_{\varphi}K\alpha_{\psi} + G}$$
 (7)

式中, y 为土体膨胀角。

在应力更新过程中,应力状态有可能会超过 DP 准则的屈服面,违背理想弹塑性假设。为此,应力拉回算法被采用,具体为:

$$\begin{cases} \tilde{\boldsymbol{\sigma}} = \boldsymbol{\sigma} - \frac{1}{3} (I_1 - \frac{k_c}{\alpha_{\varphi}}) \boldsymbol{I}, \text{ when } -\alpha_{\varphi} + k_c < 0 \\ \tilde{\boldsymbol{\sigma}} = \frac{-\alpha_{\varphi} + k_c}{\sqrt{J_2}} \boldsymbol{\sigma}^s + \frac{1}{3} I_1 \boldsymbol{I}, \text{ when } -\alpha_{\varphi} + k_c < \sqrt{J_2} \end{cases}$$
(8)

式中σ是拉回后的应力张量。

## 1.3 基于混合物理论的控制方程

基于混合物理论模拟水、土混合,用下标 f 和 s 分别代表水体和土体。在混合物理论中,数值空间被内在密度为  $\rho_s$  的土体同时占据,其各自的体积分数为 $\phi_f$  和 $\phi_s$  (Zhu et al., 2022)。此时,其体积分数满足归一化条件:

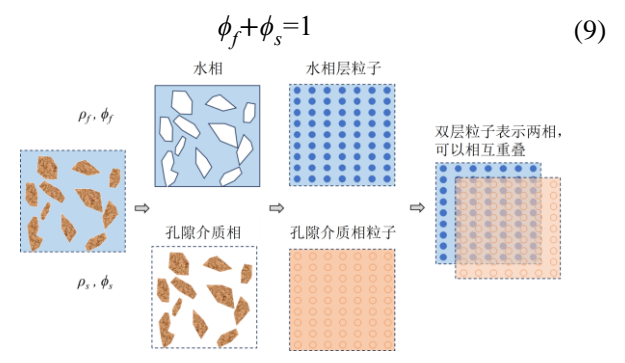


图 1 SPH 水土耦合模型示意图

Fig. 1 Schematic of SPH soil-water coupling model 在拉格朗日框架下,两相质量守恒方程为:

$$\frac{d^s \rho_s}{dt} = -\rho_s \nabla \cdot \boldsymbol{u}_s \tag{10}$$

$$\frac{d^{f}\rho_{f}}{dt} = -\frac{\rho_{f}}{\phi_{f}} \nabla \cdot \left( \phi_{f} \boldsymbol{u}_{f} + \phi_{s} \boldsymbol{u}_{s} \right) \tag{11}$$

式中, $\rho_s$ 和 $\rho_f$ 分别为土体和流体的材料密度。 $u_s$ 、 $u_f$ 分别为土体和水体的速度。基于线性动量守恒,水体和土体的动量守恒方程分别为:

$$\rho_s \frac{d^s \mathbf{u}_s}{dt} = \nabla \cdot \boldsymbol{\sigma}_s + \rho_s \mathbf{g} - \phi_s \nabla p_f + \mathbf{R}$$
 (12)

$$\phi_f \rho_f \frac{d^f \mathbf{u}_f}{dt} = -\phi_f \nabla p_f + \eta \nabla^2 \mathbf{\mu}_f + \phi_f \rho_f \mathbf{g} - \mathbf{R}$$
 (13)

式中,g=9.8m/s² 为重力加速度, $\sigma_s$ 为土体内部有效应力, $p_f$ 为水体压力, $\eta$ 为动力粘度,R 为渗流拖曳力,其公式为:

$$R = \frac{\mu}{k} \left( \mu_f - \mu_s \right) + \frac{1.75}{\sqrt{150}} \frac{\rho_f}{\sqrt{k} \phi_f} \left\| \mu_f - \mu_s \right\| \left( \mu_f - \mu_s \right)$$
 (14)

$$k = \frac{\phi_f^3 D_{50}^2}{150 \left(1 - \phi_f\right)^2} \tag{15}$$

式中, D50 为中值粒径。

在 SPH 模型中,用一系列拉格朗日粒子离散化计算空间。在多相 SPH 模型中,水和土将会被离散为两组粒子同时计算,相互作用。两种粒子可以重叠,形成两层 SPH 粒子,每个粒子除携带其物理力学属性如速度、质量等外,还会携带孔隙率属性(图 1)。采用 SPH 核函数 $W_{ij}$ = $W(r_i$ - $r_j$ , $h_s$ )可以对物理方程进行离散化,从而对每个 SPH 粒子进行计算,其中 i,j 为粒子的序号, $h_s$  为光滑半径。对流体的质量守恒和动量守恒方程进行离散化后,可以得到流体的 SPH 形式控制方程为:

$$\frac{d^{f}\rho_{i}}{dt} = -\frac{\rho_{i}}{\phi_{i}} \sum_{j} \left(\phi_{j} \mathbf{u}_{j} - \phi_{i} \mathbf{u}_{i}\right) \cdot \nabla_{i} W_{ij} V_{j}$$

$$-\frac{\rho_{i}}{\phi_{i}} \sum_{j} \left(1 - \phi_{j}\right) \mathbf{u}_{j}^{s} \cdot \nabla_{i} W_{ij} V_{j} + \hat{\rho} \nabla_{i} W_{ij} V$$
(16)

$$\frac{d^{f} \mathbf{u}_{i}}{dt} = -\frac{1}{\rho_{i}} \sum_{j} \left( p_{i} + p_{j} \right) \nabla_{i} W_{ij} V_{j} + g_{i}$$

$$-\frac{1}{\rho_{i} \phi_{i}} \sum_{j} f_{ia} W_{ia} V_{a} + \widehat{P} \nabla_{i} W_{ij} V$$
(17)

式中,i,j 表示水粒子的序号,a,b 表示土粒子的序号,V 为粒子体积。基于黎曼相互作用求解(许强和董秀军,2011), $\hat{\rho}$ 和 $\hat{P}$ 分别为:

$$\hat{\rho} = \rho_L \frac{P_L - P_R}{\rho_L c_L + \rho_R c_R} \tag{18}$$

$$\widehat{P} = \frac{2\rho_L c_L \rho_R c_R (U_L - U_R) \lambda}{\rho_L (\rho_L c_L + \rho_R c_R)}$$
(19)

$$\lambda = \min\left(\zeta \max\left(\frac{(U_L - U_R)(\rho_L + \rho_R)}{\rho_L c_L + \rho_R c_R}, 0\right), 1\right) \tag{20}$$

式中, $\xi$ =3 为耗散系数。下标 L,R 分别代表黎曼相互作用中的左右项,计算方式为:

$$\begin{cases}
(\rho_L, U_L, P_L, c_L) = (\rho_i, -\mathbf{v}_i \cdot \mathbf{e}_{ij}, p_i, c_i) \\
(\rho_R, U_R, P_R, c_R) = (\rho_i, -\mathbf{v}_j \cdot \mathbf{e}_{ij}, p_i, c_j)
\end{cases}$$
(21)

式中 c 为声速。采用同样的方式,可以对土体的质量守恒方程和能量守恒方程进行黎曼 SPH 离散化,得到:

$$\frac{d^{s}\rho_{a}}{dt} = \rho_{a} \sum_{b} (\boldsymbol{u}_{a} - \boldsymbol{u}_{b}) \nabla_{a} W_{ab} V_{b} + \hat{\rho} \nabla_{i} W_{ij} V$$
 (22)

$$\frac{d^{s} \mathbf{u}_{a}}{dt} = \frac{1}{\rho_{a}} \sum_{b} (\sigma_{a} + \sigma_{b}) \nabla_{a} W_{ab} V_{b} + g_{a}$$

$$-\frac{\phi_{a}}{\rho_{a}} \sum_{i} (p_{i} - p_{a}) \nabla_{a} W_{ai} V_{i} \qquad (23)$$

$$+\frac{1}{\rho_a}\sum_i \mathbf{f}_{ai}W_{ai}V_i + \widehat{P}\nabla_i W_{ij}V$$

式中 $\hat{\rho}$ 和 $\hat{P}$ 计算方式与水体相同,但在土体中耗散系数  $\zeta$  取 15D, 其中 D 代表维度,在二维算例下取 2,三维 算例下取 3(Zhang et al, 2024)。

# 2 数值验证

## 2.1 计算模型

基于滑坡涌浪室内模型试验(Viroulet et al., 2013)对 SPH 模拟滑坡-涌浪进行了验证,如图 2 所示。试验中,滑坡体由质量为 2kg 的干颗粒组成,初始置于 45°的斜坡上,并在挡板限制下保持静止。滑坡体下设置深度为 0.15m 的静止水体。涌浪的波面数据通过距离滑坡体位置分别为 0.45m、0.75m、1.05m 和 1.35m 四个浪高仪(WG)进行采集(图 2)。SPH 模型中散粒体滑坡及水体的详细物理参数列于表 1。

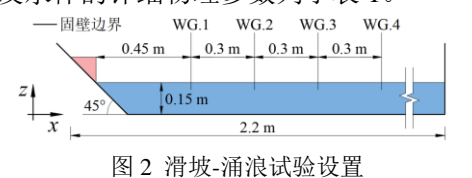


Fig. 2 Experimental setup for the landslide-tsunami

表 1 模型试验参数表 (Viroulet et al., 2013)

Table 1 Parameters of the landslide-tsunami experiment (Viroulet et al., 2013)

材料	物理参数	数值
水体	密度	$1000~kg/m^3$
	运动黏滞系数	$1.0 \times 10^{-6} \text{ m}^2/\text{s}$
散粒体	密度	$2500 \text{ kg/m}^3$
	中值粒径	4 mm
	杨氏模量	5.84 MPa
	内摩擦角	23.3 °
	初始体积分数	0.6

为了深入探讨渗流效应在滑坡-涌浪灾害中对涌 浪特征参数的影响,本文分别对考虑渗流和未考虑渗 流两种情形进行了数值计算。

#### 2.2 计算结果

图 3(a-e)展示了滑坡涌浪试验的动态演化过程, t=0s 时,挡板被快速撤掉,滑坡体开始失稳并发生变 形。t=0.3s 时,滑坡体前缘进入水中,与水体发生剧烈 混合和冲击,形成近场涌浪。t=0.9s时,滑坡体完全落 入水中,水体最左端受滑坡抬升效应影响产生二次涌 浪。随着滑坡体逐渐趋于稳定, 所产生的波浪向远处 传播并逐渐衰减,如 t=1.5s 时所示。考虑渗流效应的 SPH 模拟结果(图 3 f-j)与试验观测基本一致,成功 复现了散粒体滑坡从失稳启动到涌浪传播的全过程动 力学行为。相比之下,忽略渗流效应的模拟(图 3 k-o) 则与试验结果存在显著偏差。具体而言,考虑渗流效 应时,滑坡体前缘呈现出明显的团聚与堆积特征,运 移形态表现为前缘厚后缘薄(图 3 g),与试验观测一 致;而忽略渗流效应时,滑坡前缘形态明显偏离实际。 此外,渗流作用下在滑坡体附近形成局部高速流动区, 波形特征与试验结果高度一致; 而未考虑渗流效应时, 波形形态与试验结果存在显著差异。这一对比表明, 本文建立的考虑渗流效应的 SPH 方法能够准确再现滑 坡-涌浪事件的动态演化过程,包括滑坡体失稳、入水 冲击、波浪生成与传播等关键阶段。

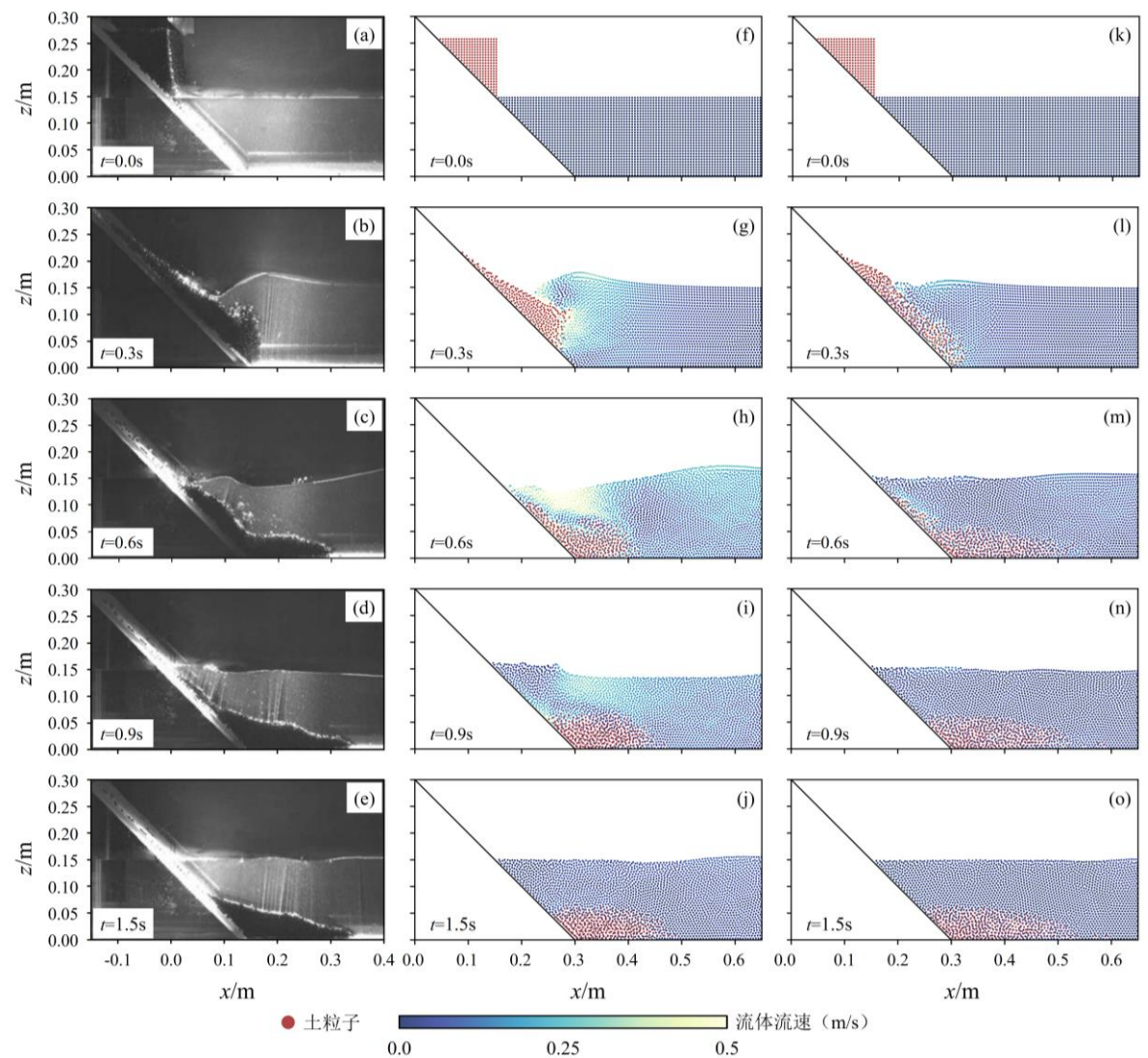


图 3 试验与数值模拟对比: (a-e)试验过程, (f-j)考虑渗流的数值模拟, (k-o)未考虑渗流的数值模拟

Fig. 3 Experiment vs. simulation: (a-e) experiment, (f-j) simulation with dynamic seepage, (k-o) simulation without dynamic seepage

图 4 进一步对比了数值模拟与模型试验的波形数 据,结果表明,考虑渗流效应的 SPH 计算方法与试验 结果具有较高的一致性, 而未考虑渗流效应模拟到的 浪高显著偏小。具体而言,对于最大波浪幅值(am), 未考虑渗流效应时,4个监测点的误差分别为48.15%、 50.78%、53.14%和60.66%;而在考虑渗流效应后,误 差显著降低至 23.43%、14.77%、8.53%和 1.68%。对于 最大波浪高度(H<sub>m</sub>),未考虑渗流效应时,4个监测点 的误差分别为 59.57%、61.99%、67.12%和 71.62%; 而 在考虑渗流效应后,误差分别降至 17.62%、10.18%、 4.86%和 2.69%。这一对比结果充分验证了渗流效应对 滑坡-涌浪模拟精度的重要影响。考虑动态渗流的两相 SPH 方法引入了与水土相对速度相关的渗流拖曳力项, 增强了滑坡-涌浪过程中的水土动量耦合,显著提高了 涌浪波高的模拟精度, 使其更接近真实试验结果。综 上结果表明,考虑渗流的两相 SPH 算法能够更真实地 反映土-水两相介质的相互作用机制,可以更好地应用 于散粒体滑坡-涌浪的模拟研究。

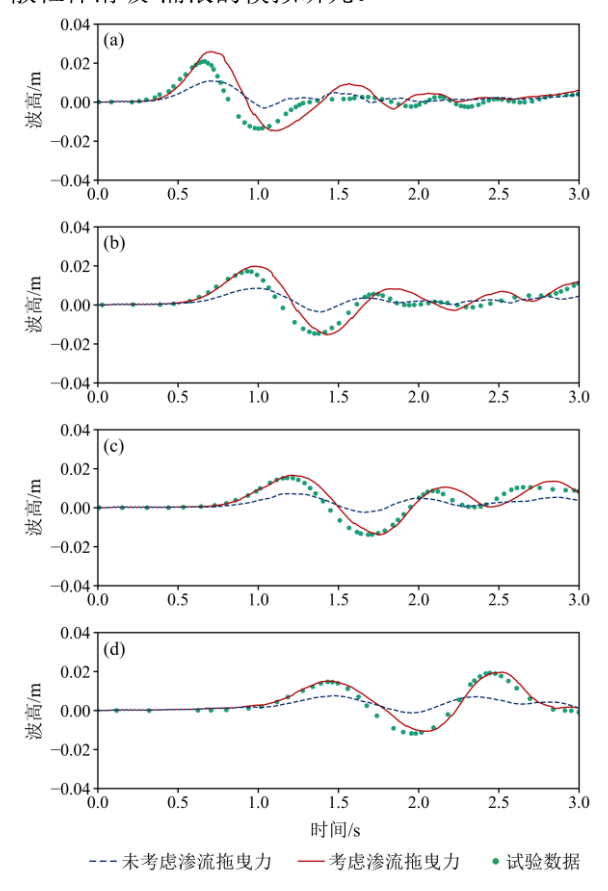


图 4 不同监测点下数值模拟浪高与试验数据对比(Viroulet et al., 2013): (a)WG.1; (b)WG.2; (c)WG.3; (d)WG.4

Fig. 4 Comparison of simulated wave heights with experimental data at monitoring points (Viroulet et al., 2013): (a)WG.1; (b)WG.2; (c)WG.3; (d)WG.4

# 3 滑动面倾角和滑坡前缘倾角协同作用

# 机制

#### 3.1 工况设置

为研究滑动面倾角  $(\alpha)$  和滑坡前缘倾角  $(\beta)$  对涌浪特征参数的协同影响,采用概化模型进行数值计算,模型几何示意图如图 5 所示(Wu et al., 2024)。滑坡体形状设定为直角梯形,底边长为 0.42 m,高为 0.08 m,初始水位为 0.3 m。设定滑动面倾角分别为 35 % 45 % 50 % 55 %和 65 °,滑坡前缘倾角分别为 20 % 30 °、40 % 50 °和 60 °(表 2)。滑坡体由中值粒径为 4 mm 的散粒体组成,内摩擦角 23.3 °,密度为 2000 kg/m³。散粒体滑坡在重力作用下沿滑动面滑入水中,模拟过程中在布置了四个浪高仪(WG)以记录涌浪近场波面的变化。通过系统改变  $\alpha$  和  $\beta$  的组合,研究  $\alpha$  和  $\beta$  协调影响下涌浪特征参数的差异。

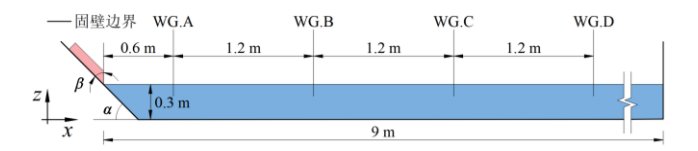


图 5 滑坡-涌浪计算模型布置示意图

Fig. 5 Schematic diagram of the landslide-tsunami computational model setup

表 2 数值模拟工况表

Table 2 List of numerical simulation conditions

滑动面倾角(α)	滑坡前缘倾角 (β)
35°	20°, 30°, 40°, 50°, 60°
45°	20°, $30$ °, $40$ °, $50$ °, $60$ °
50°	20°, $30$ °, $40$ °, $50$ °, $60$ °
55°	20°, $30$ °, $40$ °, $50$ °, $60$ °
65°	20°, 30°, 40°, 50°, 60°

#### 3.2 涌浪形成规律

当滑坡前缘倾角  $\beta$  为 20 时,滑动面倾角  $\alpha$  由 35° 逐步增至 65°,  $a_{\rm m}$ 和  $H_{\rm m}$ 均表现出先增后减的非线性变化趋势,并在  $\alpha$ =55 时达到峰值(图 6a)。当  $\beta$  进一步增大至 30°、40°、50°和 60°时, $a_{\rm m}$ 和  $H_{\rm m}$ 依然表现出类似的变化规律,峰值位置集中在  $\alpha$ =50°或 55°。相比之下, $\beta$  对涌浪参数的影响相对较弱(图 12),但其变化规律更为复杂(图 7)。具体而言,当  $\alpha$ =35 时,随着  $\beta$  的增大, $a_{\rm m}$ 和  $H_{\rm m}$ 呈现先增大后减小的单峰特征;当  $\alpha$ =45 时,随着  $\beta$  的增大, $a_{\rm m}$ 和  $H_{\rm m}$ 先增大后趋于稳定;而当  $\alpha$ =50°、55°或 65 时,随着  $\beta$  的增大, $a_{\rm m}$ 和  $a_{\rm m}$ 4  $a_{\rm m}$ 4  $a_{\rm m}$ 5  $a_{\rm$ 

滑坡与水体之间的有效作用面积是传递滑坡动能和动量、进而生成涌浪的关键因素(Li et al., 2024)。滑坡的厚度(S)本身并不直接影响有效作用面积,关键因素在于其在垂直方向的分量( $S_z$ )。当滑坡前缘倾角为 90 时, $S_z$  可用常见的 $S \times \cos \alpha$ 形式表示,其中 $\cos \alpha$ 表示滑坡厚度在竖直方向上的投影长度。若前缘倾角不为 90°,则滑坡的垂直入水分量同时受到滑动面倾角( $\alpha$ )与前缘倾角( $\beta$ )的协同影响, $S_z$  则可表示为 $S \times \sin(\alpha + \beta)$ 。在本研究中,滑坡厚度保持为 0.08m 不变,通过调控  $\alpha$  与  $\beta$  的组合关系以改变  $S_z$ ,进而调节滑坡与水体的有效作用面积,对涌浪特征参数产生显著影响。所以  $a_m$  和  $H_m$  随着  $\alpha$  的增加均呈现先增后减的非线性变化趋势;而  $\beta$  的变化除影响有效作用面积外,还在一定程度上改变滑坡体积,使其对涌浪参数的影响机制更加复杂。

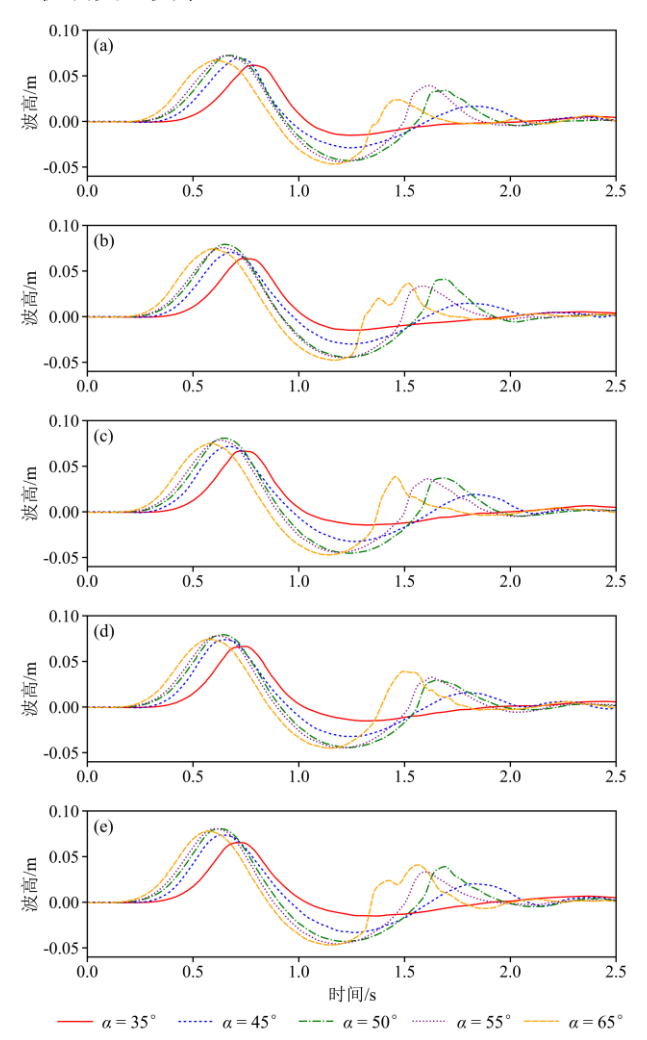


图 6 不同滑动面倾角  $\alpha$  下 WG.A 涌浪波形: (a)  $\beta$ =20  $^{\circ}$ , (b)  $\beta$ =30  $^{\circ}$ , (c)  $\beta$ =40  $^{\circ}$ , (d)  $\beta$ =50  $^{\circ}$ , (e)  $\beta$ =60  $^{\circ}$ 

Fig. 6 WG.A waves for varied sliding surface inclinations  $\alpha$ : (a)  $\beta$ =20  $^{\circ}$ , (b)  $\beta$ =30  $^{\circ}$ , (c)  $\beta$ =40  $^{\circ}$ , (d)  $\beta$ =50  $^{\circ}$ , (e)  $\beta$ =60  $^{\circ}$ 

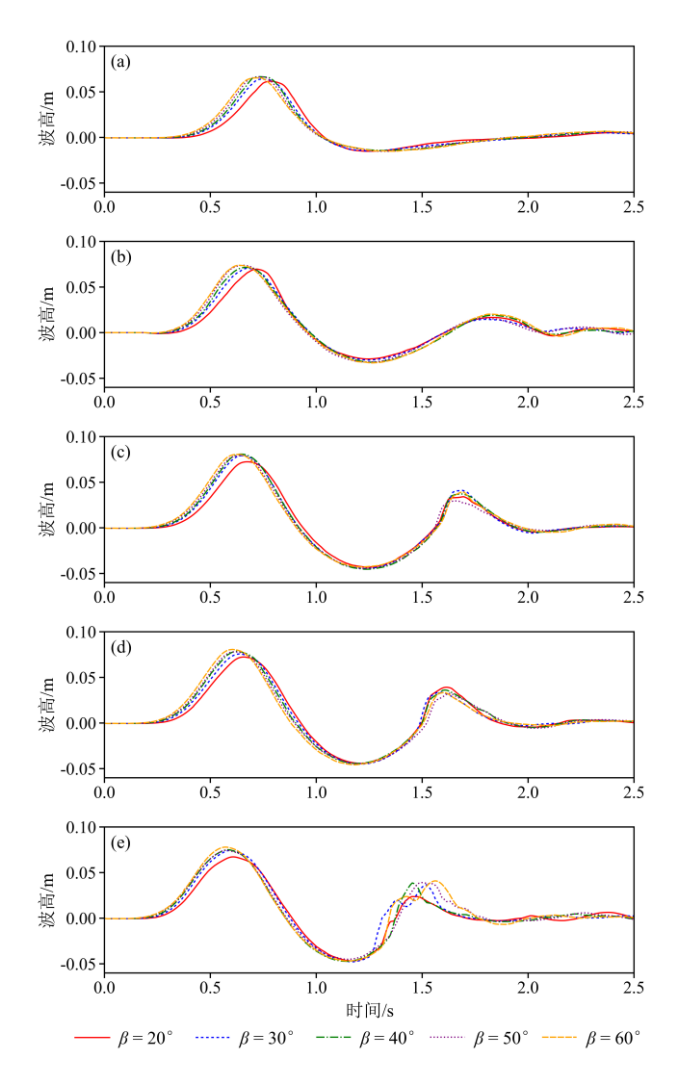


图 7 不同滑坡前缘倾角  $\beta$  下 WG.A 涌浪波形: (a)  $\alpha$ =35  $^{\circ}$ , (b)  $\alpha$ =45  $^{\circ}$ , (c)  $\alpha$ =50  $^{\circ}$ , (d)  $\alpha$ =55  $^{\circ}$ , (e)  $\alpha$ =65  $^{\circ}$ 

Fig. 7 WG.A waves for varied landslide leading edge inclinations  $\beta$ : (a)  $\alpha$ =35  $^{\circ}$ , (b)  $\alpha$ =45  $^{\circ}$ , (c)  $\alpha$ =50  $^{\circ}$ , (d)  $\alpha$ =55  $^{\circ}$ , (e)  $\alpha$ =65  $^{\circ}$ 

## 3.3 涌浪衰减规律

在每组工况下,四个监测点的  $a_{\rm m}$ 和  $H_{\rm m}$ 通过拟合 关系  $z=ax^{-b}$  (其中 x 为涌浪传播距离)进行分析,如图 8 和图 9 所示。分析表明, am和 Hm 随着涌浪传播距离 的增加而逐渐减小,但衰减速率表现出不同的变化趋 势,尤其在  $\alpha$  和  $\beta$  的不同组合下,涌浪衰减速率呈现 出不同的减缓和加速模式。对 $a_{\rm m}$ 而言,在 $\alpha$ 相同条件 下,随着  $\alpha+\beta$  趋近于 90°,拟合参数 b 值逐渐减小,表 明衰减速率明显减缓; 当  $\alpha+\beta$  超过 90 %后,  $a_{\rm m}$  衰减速 率先增强后减弱。进一步分析发现, 当β固定为20域 30 时, $a_m$  衰减速率随  $\alpha$  的增大大致呈减缓趋势;然而, 当 $\beta$ 为40°、50°或60°时, $a_{\rm m}$ 衰减速率随 $\alpha$ 的增大呈 现出先减缓、后加速、再减缓的非单调变化趋势。对于  $H_{\rm m}$ , 当  $\alpha$ =35 时,衰减速率随  $\beta$  增大呈减缓趋势; 而 当  $\alpha$  为 45  $^{\circ}$  50  $^{\circ}$  55  $^{\circ}$ 和 65  $^{\circ}$ 的情况下, $H_{\rm m}$  衰减速率则 呈现出减缓和加快交替的变化规律。此外,当  $\beta$  固定 时, $H_{\rm m}$  衰减速率随  $\alpha$  的增加表现为单调增强。从物理 机制的角度看,当 α+β 接近 90 时,滑坡体有效作用面积的推移方向与波浪传播方向趋于一致。导致波浪能量的传播模式与滑坡体的推移作用相互耦合,从而减少了波浪与土体间的能量耗散效应,导致能量耗散速率降低,进而使涌浪的衰减速率相对减缓。

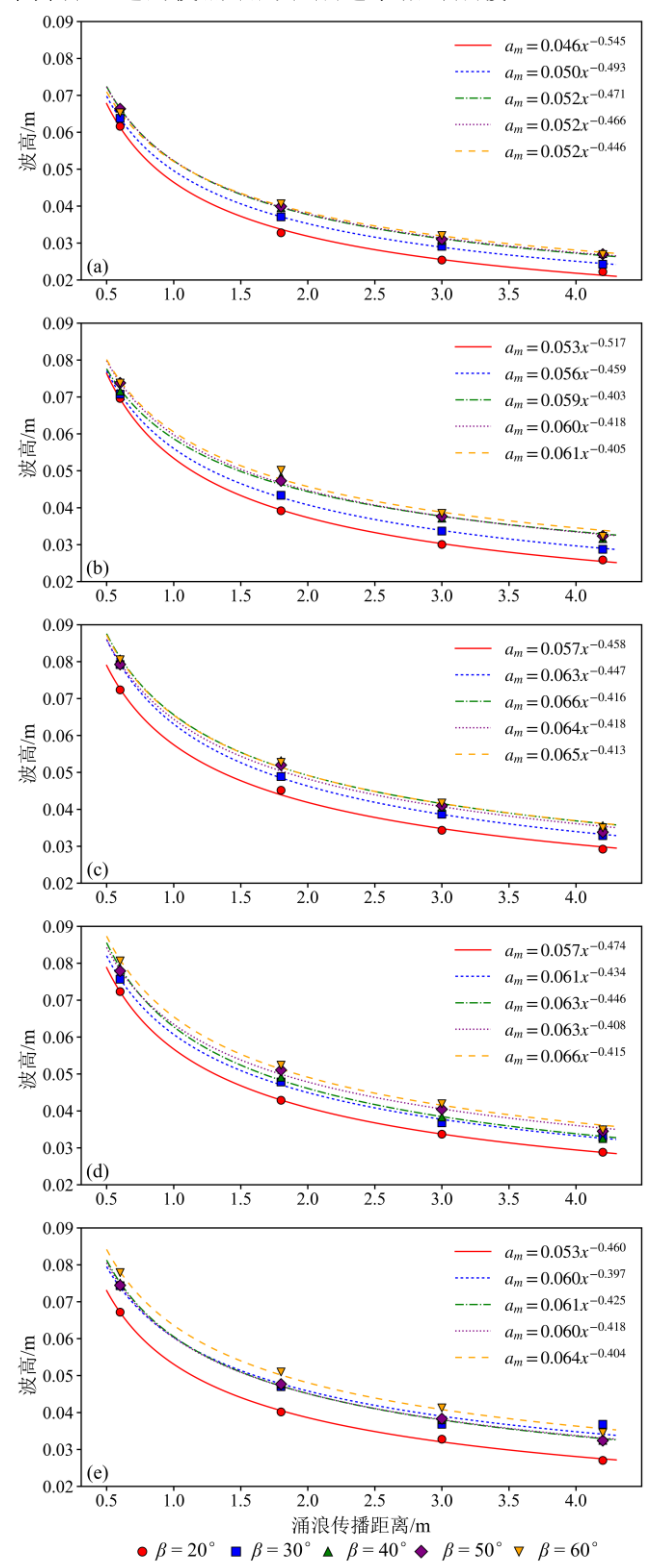


图 8 滑坡-涌浪最大波浪幅值  $a_m$  衰减图: (a)  $\alpha$ =35  $^{\circ}$ , (b)  $\alpha$ =45  $^{\circ}$ , (c)  $\alpha$ =50  $^{\circ}$ , (d)  $\alpha$ =55  $^{\circ}$ , (e)  $\alpha$ =65  $^{\circ}$ 

Fig. 8 Attenuation of maximum wave amplitude  $a_{\rm m}$  for landslide-tsunamis: (a)  $\alpha$ =35  $^{\circ}$ , (b)  $\alpha$ =45  $^{\circ}$ , (c)  $\alpha$ =50  $^{\circ}$ , (d)  $\alpha$ =55  $^{\circ}$ , (e)  $\alpha$ =65  $^{\circ}$ 

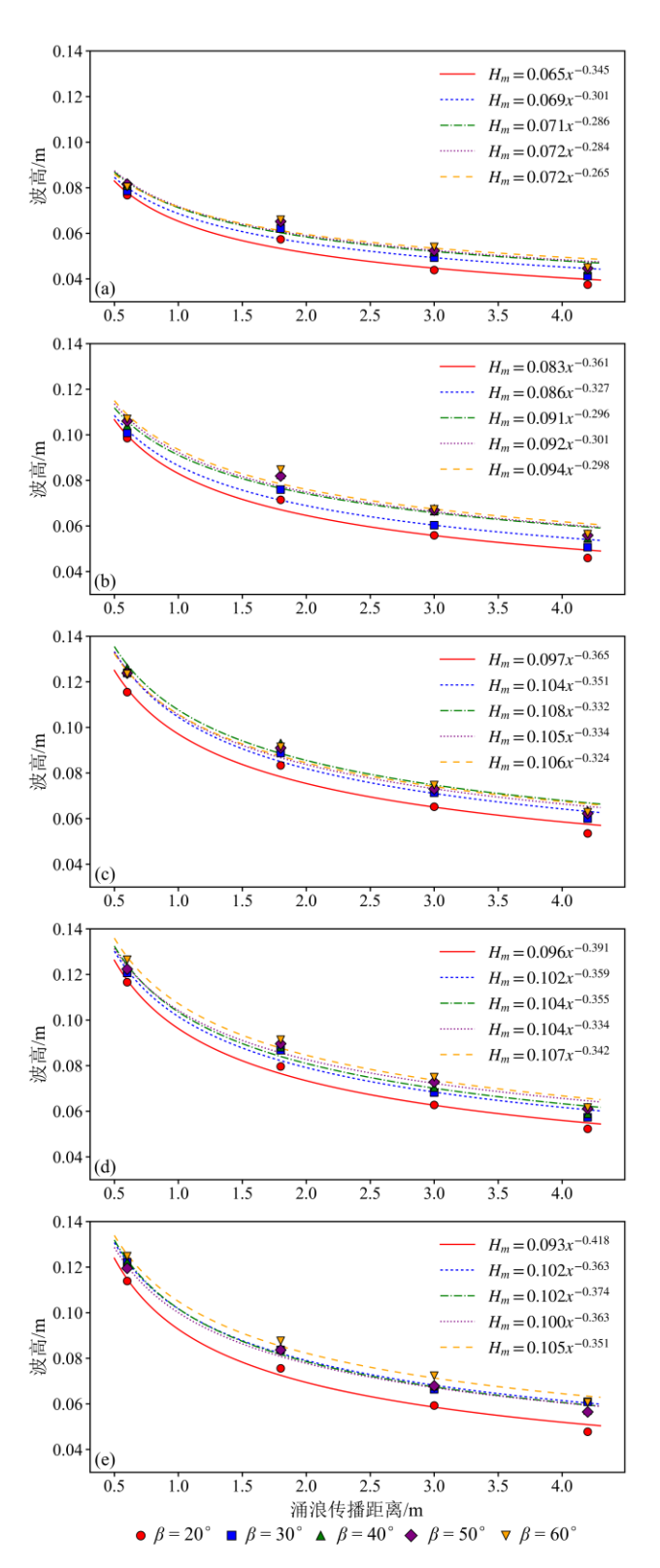


图 9 滑坡-涌浪最大波浪高度  $H_m$  衰减图: (a)  $\alpha$ =35  $^{\circ}$ , (b)  $\alpha$ =45  $^{\circ}$ , (c)  $\alpha$ =50  $^{\circ}$ , (d)  $\alpha$ =55  $^{\circ}$ , (e)  $\alpha$ =65  $^{\circ}$ 

Fig. 9 Attenuation of maximum wave height  $H_{\rm m}$  for landslide-tsunamis: (a)  $\alpha$ =35  $^{\circ}$ , (b)  $\alpha$ =45  $^{\circ}$ , (c)  $\alpha$ =50  $^{\circ}$ , (d)  $\alpha$ =55  $^{\circ}$ , (e)  $\alpha$ =65  $^{\circ}$ 

# 4 讨论

# 4.1 不同滑坡的涌浪冲击特征对比

与散体滑坡相比,刚体滑坡因其整体性强、不发 生形变,且水体无法渗入,具有显著的水土体积置换 效应与前缘推动作用,滑坡前缘与水体剧烈碰撞,掀起高幅涌浪,并在前缘形成明显的高速水流区(图 10 a)。而散体滑坡允许水体渗入滑体内部,削弱了体积置换与推动效应,导致涌浪波高显著降低,涌浪总动能仅为刚体滑坡的 21.55% (t=0.3 s)。除水土颗粒间的碰撞导致能量传递外,散体滑坡中还存在与水土相对运动有关的渗流拖曳力。若在数值模拟中忽略拖曳力作用(图 10 b),则水土间动量传递不充分,涌浪波形偏离实际。考虑渗流拖曳力后,散体滑坡前缘可形成一定范围的高速区(图 10 c),模拟结果更接近实际,涌浪总动能提升至刚体滑坡的 34.01%(t=0.3 s),能量传递机制更为完整。

综上,尽管水体入渗削弱了滑坡体对水体的体积 置换与推动效应,降低涌浪强度,但渗流拖曳力在散 粒体滑坡-涌浪动力学过程中具有重要作用,其缺失将 导致对涌浪强度的显著低估。

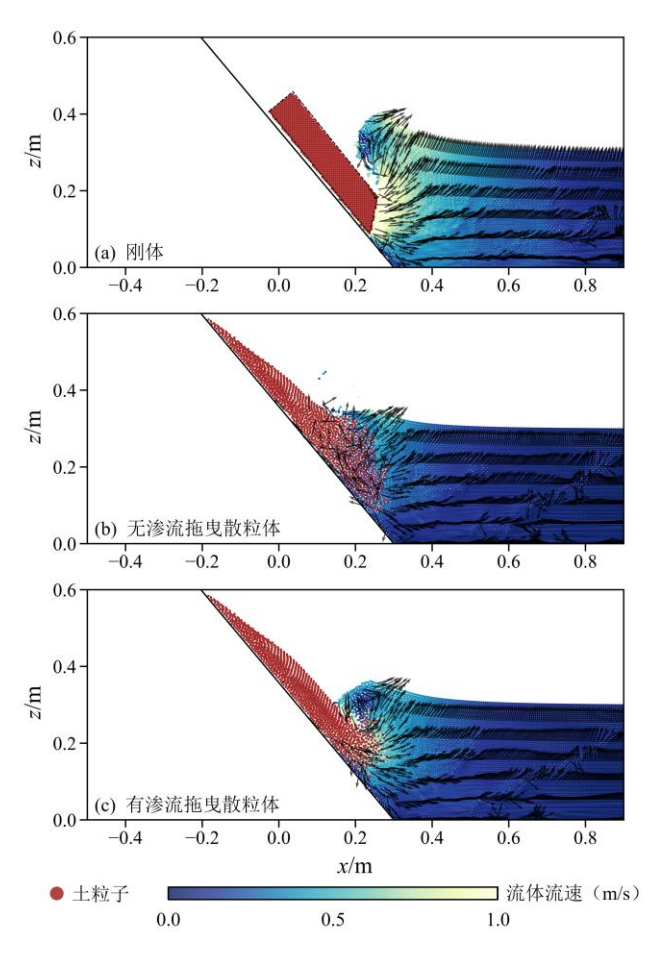


图 10 不同滑坡体诱发涌浪流场对比(t=0.3s,  $\alpha$ =50°,  $\beta$ =50°) Fig. 10 Flow field for waves generated by different landslides (t=0.3s,  $\alpha$ =50°,  $\beta$ =50°)

#### 4.2 角度协同影响

研究结果表明,当  $\alpha+\beta<90$  时,随着  $\alpha+\beta$  的增大,  $a_{\rm m}$  和  $H_{\rm m}$  均呈现增加趋势。然而,对于  $\alpha+\beta>90$  的情况, $a_{\rm m}$  和  $H_{\rm m}$  的变化规律则表现出更为复杂的非线性

特征。例如, 当  $\alpha=50$  但  $\beta=40$  时,  $a_{\rm m}$  和  $H_{\rm m}$  分别为 0.081m 和 0.126m; 而当  $\beta$  保持不变、 $\alpha$  增至 55°、65° 时, am 下降了 2.59%和 7.02%, Hm 下降了 2.56%和 3.02%。进一步分析发现,当  $\alpha$  保持不变且  $\beta$ =50 时, β 的增大会导致滑坡体积增加约 3.79%, 但  $a_m$  和  $H_m$  却 分别下降了 1.85%和 1.84%。然而, 当  $\alpha+\beta$  远大于  $90^\circ$ 时, $a_{\rm m}$ 和 $H_{\rm m}$ 的增长规律进一步复杂化。例如,当 $\alpha$ =45° 且  $\beta$ =60 时, $a_{\rm m}$ 和  $H_{\rm m}$ 分别为 0.074m 和 0.107m; 当  $\alpha$ 增加至 55°时, am 和 Hm 分别显著增加了 11.42%和 19.54%; 而当  $\alpha$  进一步增加至 65 时,  $a_{\rm m}$  和  $H_{\rm m}$  的增幅 则分别减缓至 6.49%和 17.36%。这一结果表明, 当  $\alpha+\beta>90$  时,存在一种竞争机制:一方面, $\alpha+\beta$  的增大 会导致有效作用面积的减少,削弱滑坡对水体的推力, 从而抑制  $a_{\rm m}$  和  $H_{\rm m}$  的增长;另一方面, $\beta$  的增大又会 导致滑坡体积的增加,增强动能输入,进而促进 $a_m$ 和  $H_{\rm m}$ 的上升。这种竞争机制揭示了涌浪生成过程中多因 素耦合作用的复杂性,其中 $\alpha$ 和 $\beta$ 是导致这种复杂性 的两个重要因素。

此外, 当 $\beta$ 较小时, 随着 $\alpha$ 的增大(即 $\alpha+\beta$ 逐渐 接近90°),涌浪衰减速率逐渐减缓。然而,当 $\beta$ 较大 时,初期随着  $\alpha$  增大,衰减速率减缓;但随着  $\alpha$  进一 步增大,滑坡体的滑移速率显著提升,从而输入波浪 系统的能量急剧增加(图11)。此时,高速波浪容易 引发非线性效应和加剧土体孔隙渗流作用,同时底部 摩擦阻力与波浪破碎产生的紊流耗散逐渐占据主导地 位,最终导致涌浪衰减速率加速。此外,在α保持不 变的情况下, $\beta$  的变化会影响滑坡体积和有效作用面 积,从而对涌浪衰减速率产生影响。定量分析表明,当  $\alpha$  固定为 50 时, $\beta$ =40 °工况下浪高仪监测域内水体获 得的水平动量达到最大值,较  $\beta$ =20°、30°、50°和 60° 分别提高 2.02%、1.20%、0.63%和 0.87%,表明此时波 浪传播方向与滑坡推移运动方向实现最优耦合(图12)。 当β进一步增大至60时,尽管耦合程度下降,但由于 滑坡体积显著增加,系统向水体输入更多、更持续的 能量与动量,仍表现出涌浪衰减速率减缓的特征,尽 管涌浪传播方向尚未与滑坡推移方向形成最优耦合, 仍表现出涌浪衰减速率减缓的特征。上述结果表明, 波浪衰减过程中的能量传递与耗散机制高度复杂,且  $\alpha$  与  $\beta$  均为其重要影响参数。

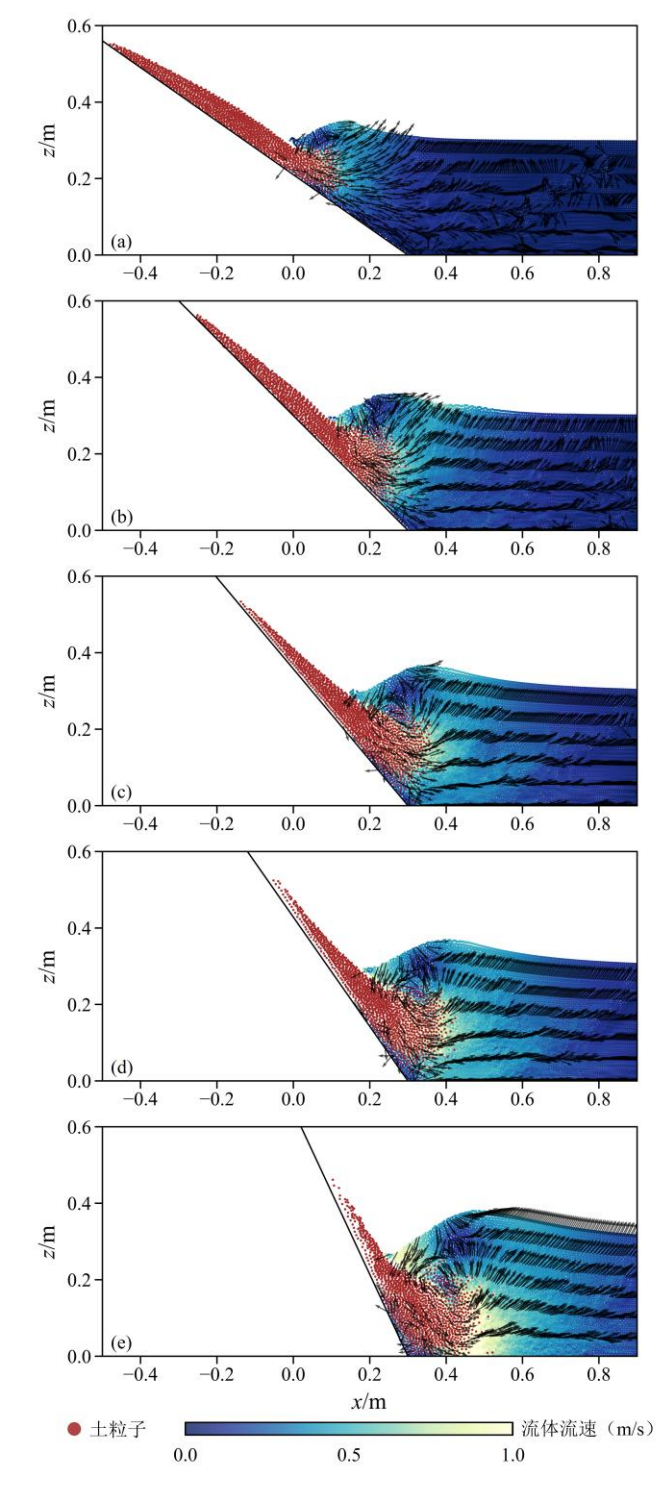
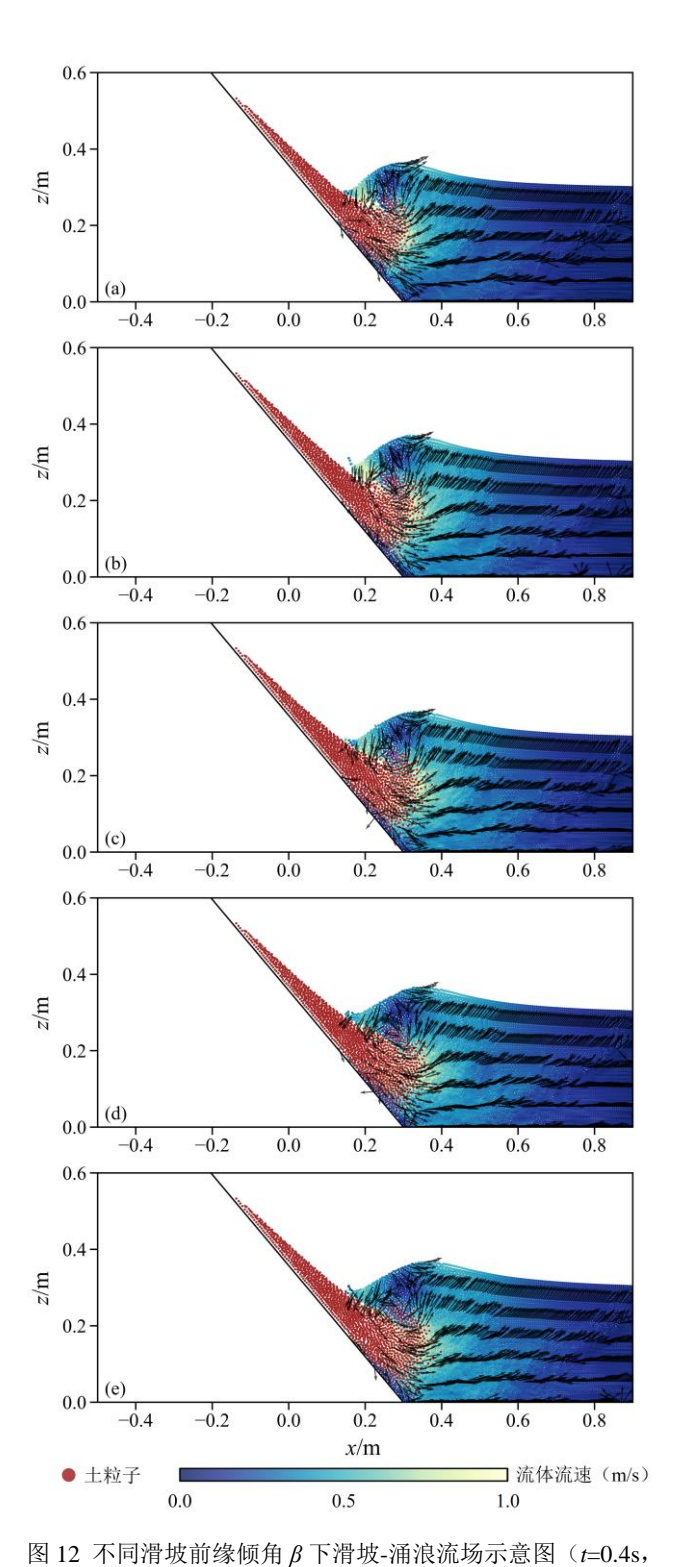


图 11 不同滑动面倾角  $\alpha$  下滑坡-涌浪流场示意图(t=0.4s, $\beta$ =50°): (a)  $\alpha$ =35°, (b)  $\alpha$ =45°, (c)  $\alpha$ =50°, (d)  $\alpha$ =55°, (e)  $\alpha$ =65° Fig. 11 Flow field for varied sliding surface inclinations (t=0.4s,  $\beta$ =50°): (a)  $\alpha$ =35°, (b)  $\alpha$ =45°, (c)  $\alpha$ =50°, (d)  $\alpha$ =55°, (e)  $\alpha$ =65°



 $\alpha$ =50°): (a)  $\beta$ =20°, (b)  $\beta$ =30°, (c)  $\beta$ =40°, (d)  $\beta$ =50°, (e)  $\beta$ =60° Fig. 12 Flow field for varied landslide leading edge inclinations (t=0.4s,  $\alpha$ =50°): (a)  $\beta$ =20°, (b)  $\beta$ =30°, (c)  $\beta$ =40°, (d)  $\beta$ =50°, (e)  $\beta$ =60° 4.3 本研究的局限性

本文构建了适用于散粒体滑坡-涌浪过程的动态 渗流两相 SPH 模型,进而初步揭示了滑动面倾角与滑 坡前缘倾角对涌浪特征参数的协同影响机制。但需指 出的是,当前研究结论尚待物理模型试验进一步验证; 同时,本文仅针对近水滑坡自然垮塌入水过程进行分 析,尚未涉及高速滑坡情形下滑动面倾角与滑坡前缘 倾角协同作用机制的研究。

# 5 结论与展望

本研究基于动态渗流的两相光滑粒子流体动力学 (SPH)模型,通过数值模拟与模型试验的对比验证,系统揭示了渗流效应在滑坡-涌浪过程中的关键作用,并深入分析了滑动面倾角 ( $\alpha$ )与滑坡前缘倾角 ( $\beta$ ) 对涌浪特征参数的协同影响机制。主要结论如下:

1.建立了考虑动态渗流的两相 SPH 模型,该模型基于混合物理论模拟水-土混合体的相互作用,并引入非线性 Darcy-Forchheimer 模型描述渗流拖曳力。基于室内试验验证了该模型在模拟散粒体滑坡-涌浪过程中的可靠性。与未考虑渗流的 SPH 模型相比,考虑渗流的 SPH 模型显著提高了涌浪波高和波形的预测精度,各监测点的最大波浪幅值  $(a_{\rm m})$  和最大波浪高度  $(H_{\rm m})$  的误差显著降低,各监测点  $a_{\rm m}$  和  $H_{\rm m}$  的误差分别降低24.72%和41.95%以上。

2.数值试验结果表明  $\alpha$  和  $\beta$  对涌浪特征参数  $a_{\rm m}$  和  $H_{\rm m}$  存在较为显著的协同影响。随着  $\alpha$  的增大, $a_{\rm m}$  和  $H_{\rm m}$  呈现出先递增后递减的非线性趋势;相比之下, $\beta$  的影响相对较弱,但变化规律更为复杂。当  $\alpha+\beta<90$  时, $a_{\rm m}$  和  $H_{\rm m}$  随  $\alpha+\beta$  的增大而增加;而当  $\alpha+\beta>90$  时, $a_{\rm m}$  和  $H_{\rm m}$  的变化规律则表现出二者呈现显著的非单调关系,表明存在滑坡体积增加与有效作用面积减少之间的竞争机制。

3.波浪传播过程中, $a_{\rm m}$ 和  $H_{\rm m}$ 的衰减特性受参数  $\alpha$ 和  $\beta$  的协同调控,呈现显著的非线性特征。研究表明: $\alpha$  增大导致波浪能量增强,与紊流、摩擦耗散效应的耦合作用进一步加剧了衰减速率的复杂性; $\beta$  主要通过改变有效作用面积影响衰减速率,当 $\alpha+\beta$ 趋于 90 时,波浪传播方向与滑坡体运动方向趋于一致,能量耗散较弱,致使近场涌浪衰减速率明显降低。

综上所述,本研究基于考虑动态渗流的两相 SPH 模型,揭示了滑动面倾角与滑坡前缘倾角对涌浪特征 参数的协同影响机制。研究成果可为滑坡-涌浪灾害的 精确预测与防控提供理论参考,并在工程实践中通过 优化滑坡前缘倾角以减弱涌浪危害。上述结论尚未涉 及滑坡高速冲击下的波形演化特征及涌浪衰减规律。 后续研究应重点突破高速粒子边界穿透问题,发展适 用于高速滑坡-涌浪过程的动态渗流两相 SPH 算法,从 而建立更完善的灾害预测理论体系。

## Reference

Barla, G., Paronuzzi, P. 2013. The 1963 Vajont Landslide: 50th Anniversary. *Rock Mechanics and Rock Engineering*, 46,

- 1267-1270. https://doi.org/10.1007/s00603-013-0483-7
- Clous, L., Abadie, S. 2019. Simulation of Energy Transfers in Waves Generated by Granular Slides. *Landslides*, 16(9), 1663-1679. https://doi.org/10.1007/s10346-019-01180-0
- Cui, P., Zhu, X. 2011. Surge Generation in Reservoirs by Landslides Triggered by the Wenchuan Earthquake. *Journal of Earthquake and Tsunami*, 5(05), 461-474. https://doi.org/10.1142/S1793431111001194
- Dai, Z., Lan, B., Jiang, M., et al., 2025. Numerical Modeling of Submarine Landslide Motion and Impact Behavior Based on the SPH Method. *Journal of Ocean University of China*, 24(2), 365-376. https://doi.org/10.1007/s11802-025-5853-8
- Evers, F. M., Hager, W. H., 2016. Spatial Impulse Waves: Wave Height Decay Experiments at Laboratory Scale. *Landslides*, 13, 1395-1403. https://doi.org/10.1007/s10346-016-0719-1
- Evers F. M., Hager W. H., Boes R. M., 2019. Spatial Impulse Wave Generation and Propagation. *Journal of Waterway, Port, Coastal, and Ocean Engineering*, 145(3): 04019011. https://doi.org/10.1061/(ASCE)WW.1943-5460.0000514
- Fornaciai, A., Favalli, M., Nannipieri, L. 2019. Numerical Simulation of the Tsunamis Generated by the Sciara del Fuoco Landslides (Stromboli Island, Italy). *Scientific reports*, 9(1), 18542. https://doi.org/10.1038/s41598-019-54949-7
- Fritz, H. M., 2001. Lituya Bay case: Rockslide Impact and Wave Run-up. *Science of tsunami Hazards*, 19, 3.
- Fritz H. M., Hager W. H., Minor H. E., 2004. Near Field Characteristics of Landslide Generated Impulse Waves. Journal of Waterway Port Coastal and Ocean Engineering-Asce, 130(6): 287-302. https://doi.org/10.1061/(ASCE)0733-950X(2004)130:6(28
- Grilli, S. T., Tappin, D. R., Carey, S., et al., 2019. Modelling of the Tsunami from the December 22, 2018 Lateral Collapse of Anak Krakatau Volcano in the Sunda Straits, Indonesia. *Scientific reports*, 9(1), 11946. https://doi.org/10.1038/s41598-019-48327-6
- Heller, V, Spinneken, J. 2013. Improved Landslide-Tsunami Prediction: Effects of Block Model Parameters and Slide Model. *Journal of Geophysical Research: Oceans*,118(3). https://doi.org/10.1002/jgrc.20099
- Heller, V., Spinneken, J., 2015. On the Effect of the Water Body Geometry on Landslide-Tsunamis: Physical Insight from Laboratory Tests and 2D to 3D Wave Parameter

- Transformation. *Coastal Engineering*, 104, 113-134. https://doi.org/10.1016/j.coastaleng.2015.06.006
- Huang, B., Yin, Y., Du, C., 2016. Risk Management Study on Impulse Waves Generated by Hongyanzi Landslide in Three Gorges Reservoir of China on June 24, 2015. *Landslides*, 13: 603-616. https://doi.org/10.1007/s10346-016-0702-x
- Huang, C., Hu, C., An, Y., et al., 2023. Numerical Simulation of the Large-Scale Huangtian (China) Landslide-generated Impulse Waves by a GPU-accelerated Three-Dimensional Soil-Water Coupled SPH Model. Water Resources Research, 59(6), e2022WR034157. https://doi.org/10.1029/2022WR034157
- Lee, C., Lo, P. H., Shi, H., et al., 2022a. Numerical Modeling of Generation of Landslide Tsunamis: A Review. *Journal of Earthquake and Tsunami*, 16(06): 46. https://doi.org/10.1142/S1793431122410019
- Lee, C. H., Huang, Z., 2022b. Effects of Grain Size on Subaerial Granular Landslides and Resulting Impulse Waves: Experiment and Multi-Phase Flow Simulation. *Landslides*, 19(1), 137-153. https://doi.org/10.1007/s10346-021-01760-z
- Li, P.F., Jing, H.X., Li, G.D., 2024. Generation and Prediction of Water Waves Induced by Rigid Piston-like Landslide. *Natural Hazards*, 120(3), 2683-2704. https://doi.org/10.1007/s11069-023-06300-7
- Luo, M., Khayyer, A., Lin P., 2021. Particle Methods in Ocean and Coastal Engineering. Applied Ocean Research, 114:31. https://doi.org/10.1016/j.apor.2021.102734
- Mao, Y., Guan, M., 2023. Mesh-Free Simulation of Height and Energy Transfer of Landslide-induced Tsunami Waves. *Ocean Engineering*, 284, 115219. https://doi.org/10.1016/j.oceaneng.2023.115219
- Meng, Z. Z., Zhang, J. X., Hu, Y. T., et al., 2023. Temporal Prediction of Landslide-generated Waves using a Theoretical-Statistical Vombined Method. *Journal of Marine Science and Engineering*, 11(6), 1151. https://doi.org/10.3390/jmse11061151
- Mohammed, F., Fritz, H. M. 2012. Physical Modeling of Tsunamis Generated by Three-Dimensional Deformable Granular Landslides. *Journal of Geophysical Research: Oceans*, 117(C11). https://doi.org/10.1029/2011JC007850
- Paquier, A. E., Oudart, T., Le Bouteiller, C., et al., 2021. 3D Numerical Simulation of Seagrass Movement under Waves and Currents with GPUSPH. *International Journal of Sediment*

- Research, 36(6), 711-722. https://doi.org/10.1016/j.ijsrc.2020.08.003
- Rauter, M., Viroulet, S., Gylfad ´attir, S. S., et al., 2022. Granular Porous Landslide Tsunami Modelling-the 2014 Lake Askja Flank Collapse. *Nature communications*, 13(1), 678. https://doi.org/10.1038/s41467-022-28296-7
- Renzi, E., Sammarco, P., 2012. The Influence of Landslide Shape and Continental Shelf on Landslide Generated Tsunamis along a Plane Beach. *Natural Hazards and Earth System Sciences*, 12(5): 1503-1520. https://doi.org/10.5194/nhess-12-1503-2012
- Tang, G. Q., Lu, L., Teng, Y. F., et al., 2018. Impulse Waves Generated by Subaerial Landslides of Combined Block Mass and Granular Material. *Coastal Engineering*, 141, 68-85. https://doi.org/10.1016/j.coastaleng.2018.09.003
- Viroulet, S., Sauret, A., Kimmoun, O., et al., 2013. Granular Collapse into Water: Toward Tsunami Landslides. *Journal of visualization*, 16, 189-191. https://doi.org/10.1007/s12650-013-0171-4
- Wu, H., Shi, A., Ni, W., et al., 2024a. Numerical Simulation on Potential Landslide–Induced Wave Hazards by a Novel Hybrid Method. *Engineering Geology*, 331, 107429. https://doi.org/10.1016/j.enggeo.2024.107429
- Wu, H., Zhong, Q., Deng, Z., et al., 2024b. Numerical Investigation of the Effect of Landslide Relative Density on the Impulse Wave Amplitude. *Ocean Engineering*, 309, 118563. https://doi.org/10.1016/j.oceaneng.2024.118563
- Yu, M. L., Lee, C. H., 2019. Multi-Phase-Flow Modeling of Underwater Landslides on an Inclined Plane and Consequently Generated Waves. *Advances in Water Resources*, 133, 103421. https://doi.org/10.1016/j.advwatres.2019.103421
- Zhang, C., Rezavand, M., Zhu, Y., et al., 2021. SPHinXsys: An Open-Source Multi-physics and Multi-resolution Library Based on Smoothed Particle Hydrodynamics. *Computer Physics Communications*, 267, 108066. https://doi.org/10.1016/j.cpc.2021.108066
- Zhang, S., Zhang, C., Hu, X., Louren ço, S.D.N., 2024. A Riemann-Based SPH Method for Modelling Large Deformation of Granular Materials. *Computers and Geotechnics*, 167, 106052. https://doi.org/10.1016/j.compgeo.2023.106052
- Zhu, C., Peng, C., Wu, W., et al., 2022. A Multi-Layer SPH Method for Generic Water–Soil Dynamic Coupling Problems. Part I: Revisit, Theory, and Validation. *Computer Methods in Applied*

Mechanics and Engineering, 396, 115106. https://doi.org/10.1016/j.cma.2022.115106

# 附中文参考文献

- 蒋权,2019. 库岸滑坡涌浪模拟的统一粒子法研究(博士学位论文).宁波: 中国科学院大学(中国科学院宁波材料技术与工程研究所).
- Jiang, Q., 2019. Unified Particle Method Research for Simulation of Landslides Generated Waves in Reservoir Bank (Dissertation). University of Chinese Academy of Sciences (Ningbo Institute of Materials Technology & Engineering, CAS), Ningbo (in Chinese with English abstract).
- 李宏伟, 徐志国, 史健宇, 等, 2024. 基于俯冲带动力学参数评估琉球海沟对我国东南沿岸的海啸威胁. 地球科学, 49(02): 403-413.
- Li, H. W., Xu, Z. G., Shi, J. Y., et al., 2024. Tsunami Potential Threat from the Ryukyu Trench on Chinese Coast Based on Subduction Zone Dynamics Parameters. *Earth Science*, 49(02): 403-413 (in Chinese with English abstract).
- 李秋旺, 黄波林, 张鹏, 等, 2024. 滑体破碎程度对滑坡涌浪特征的影响研究. 岩土力学, 45(11): 3345-3354.
- Li, Q. W., Huang, B. L., Zhang, P., et al., 2024. Influence of the Degree of Landslide Fragmentation on the Characteristics of Landslide Impulse Wave. *Rock and Soil Mechanics*, 45(11): 3345-3354 (in Chinese with English abstract).
- 刘继芝娴, 2023. 三峡库区巫峡段高陡库岸滑坡涌浪分区预测研究(博士学位论文).武汉:中国地质大学.
- Liu, J. Z. X., 2023. Partitioning Prediction study of Landslidetsunamis in the Wu Gorge of the Three Gorges Reservoir Area (Dissertation). China University of Geosciences, Beijing (in Chinese with English abstract).
- 许强, 董秀军, 2011. 汶川地震大型滑坡成因模式.地球科学(中国地质大学学报), 36(06):1134-1142.
- Xu, Q., Dong, X. J., 2011. Genetic Types of Large-Scale Landslides Induced by Wenchuan Earthquake. Earth Science-Journal of China University of Geosciences, 36(06):1134-1142 (in Chinese with English abstract).
- 徐文杰, 2023. 库岸滑坡涌浪链生灾害动力学研究进展. 工程地质学报, 31(06): 1929-1940.
- Xu, W. J., 2023. Research Advances in Disaster Dynamics of Landslide Tsunami. *Journal of Engineering Geology*, 31(06): 1929-1940 (in Chinese with English abstract).
- 殷坤龙, 刘艺梁, 汪洋, 等, 2012. 三峡水库库岸滑坡涌浪物理

- 模型试验. 地球科学(中国地质大学学报), 37(05): 1067-1074.
- Yin, K. L., Liu, Y. L., Wang, Y., et al., 2012. Physical Model Experiments of Landslide-Induced Surge in Three Gorges Reservoir. *Earth Science-Journal of China University of Geosciences*, 7(05): 1067-1074 (in Chinese with English abstract).
- 朱艺帆,安超,2024. 均匀滑移模型在海啸预警中的应用——以 2021 年 $M_w$  8.2 Alaska 地震为例. 地球科学,49(02):500-510.
- Zhu, Y. F., An, C., 2024. Application of Uniform Slip Models to Tsunami Early Warning: A Case Study of 2021  $M_w$  8.2 Alaska Peninsula Earthquake. *Earth Science*, 49(02): 500-510 (in Chinese with English abstract).

#### 作者贡献

彭铭: 理论指导、基金支持;

赵庆新:构思,数值计算及撰写稿件;

李爽:数值计算指导,修订稿件;

褚卫江:修订稿件、基金支持;

朱艳:修订稿件、基金支持;

葛向铭:修订稿件;

陈昉健:修订稿件、基金支持。